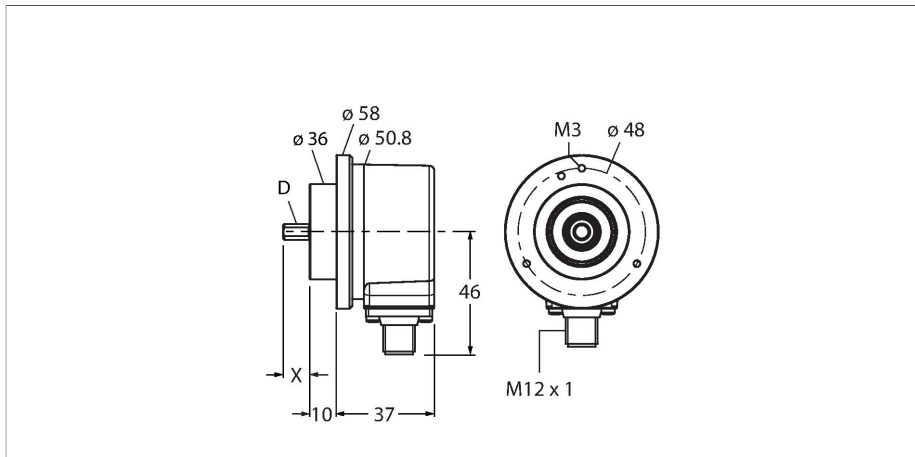


RI-10SA1C-4B64-H1181

Codificador incremental de eje

Línea industrial



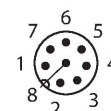
Technical data

Tipo	RI-10SA1C-4B64-H1181
N.º de ID	100045586
Principio de medición	óptico
Datos generales	
Máx. velocidad de rotación	6000 rpm
Momento de inercia del rotor	$1.8 \times 10^{-5} \text{ kgm}^2$
Par de arranque	$< 0.05 \text{ Nm}$
Tipo de salida	Acumulada
Resolución incremental	64 ppr
Datos eléctricos	
Voltaje de funcionamiento U_s	5...30 VCC
Corriente sin carga	$\leq 90 \text{ mA}$
Corriente de salida	$\leq 20 \text{ mA}$
Protección cortocircuito	sí
Rotura de cable/protección contra polaridad inversa	sí
Frecuencia máxima del impulso	300 kHz
Nivel de señal high	mín. 2,5 V
Nivel de señal low	máx. 0,5 V
Salida eléctrica	RS422/TTL, Con inversión
Datos mecánicos	
Tipo de brida	brida de sujeción
Diámetro de brida	$\varnothing 58 \text{ mm}$
Tipo de eje	Eje macizo
Diámetro del eje D (mm)	9.525
diámetro del eje D	0.375 en

Features

- Brida de fijación, $\varnothing 58 \text{ mm}$
- Eje macizo, $\varnothing 3/8" \times 5/8"$
- Principio de medición óptico
- Material del eje: acero inoxidable
- Protección de grado IP67 en la parte lateral del eje y la carcasa
- $-40 \dots +85 \text{ }^\circ\text{C}$
- Máx. 6000 rpm (funcionamiento continuo: 3000 rpm)
- De 5 a 30 VCC
- RS422/TTL con inversión
- Frecuencia de pulso máxima 300 kHz
- Macho M12 x 1, 8 polos
- 64 pulsos por revolución

1	GND
2	U_B +
3	A
4	A inv.
5	B
6	B inv.
7	0
8	0 inv.
PH	shield



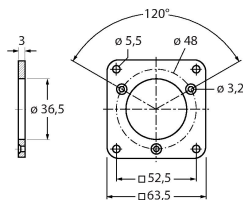
Technical data

Longitud de onda L [mm]	15.875
longitud del eje X	0.625 en
Material del eje:	Acero inoxidable
Material de la cubierta	Fundición inyectada de zinc
Conexión eléctrica	Conectores, M12 × 1
	8 polos
Carga en eje, axial	50 N
Carga en eje, radial	100 N
Condiciones ambientales	
Temperatura ambiente	-40...+85 °C
Resistencia a la fatiga por vibraciones (EN 60068-2-6)	300 m/s ² , 10-2000 Hz
Resistencia al choque (EN 60068-2-27)	3000 m/s ² , 6 ms
Grado de protección	IP67
Protection class shaft	IP67

Accessories

RFA-2

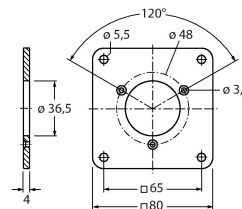
1544631



Adaptador de brida cuadrado en aluminio para codificador rotatorio de eje macizo con brida de sujeción; longitud del canto 63,5 mm; grosor 3 mm

RFA-13

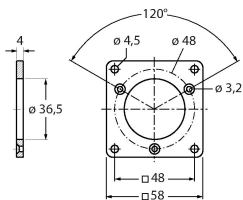
1544642



Adaptador de brida cuadrado en aluminio para codificador rotatorio de eje macizo con brida de sujeción; longitud del canto 80 mm; grosor 4 mm

RFA-1

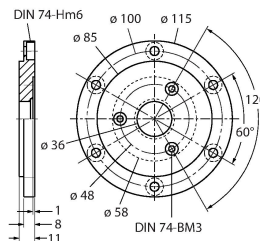
1544630



Adaptador de brida cuadrado en aluminio para codificador rotatorio de eje macizo con brida de sujeción; longitud del canto 58 mm; grosor 4 mm

RFA-4

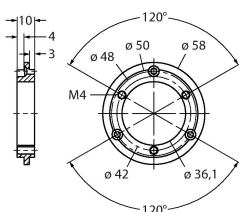
1544633



Euroflansch - Adaptador de brida en aluminio para codificador rotatorio de eje macizo, Ø 115 mm; diámetro del círculo primitivo 100 mm; para la conversión de la brida de sujeción de 58 mm a brida Euroflansch

RFA-6

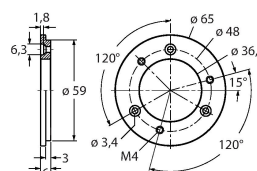
1544635



Euroflansch - Adaptador de brida en aluminio para codificador rotatorio de eje macizo con brida de sujeción, Ø 58 mm; para la conversión de la brida de sujeción a brida sincro

RFA-7

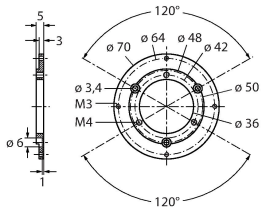
1544636



Adaptador de brida en aluminio para codificador rotatorio de eje macizo, Ø 65 mm; para adaptación en brida con diámetro Ø 65 mm y diámetro del círculo primitivo 48 mm

RFA-8

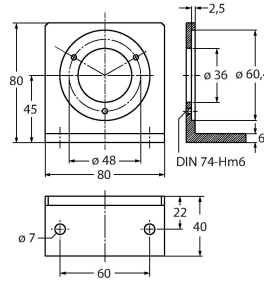
1544637



Adaptador de brida en aluminio para codificador rotatorio de eje macizo con brida de sujeción, Ø 70 mm, grosor 4 mm; para la adaptación en bridas con diámetro Ø 70 mm

RFA-9

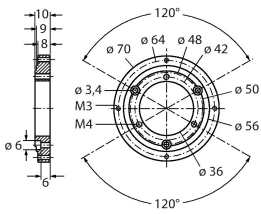
1544638



Brida angular en aluminio para codificador rotatorio de eje macizo con brida de sujeción Ø58 mm

RFA-11

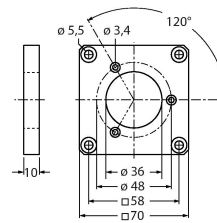
1544640



Adaptador de brida en aluminio para codificador rotatorio de eje macizo con brida de sujeción, Ø 70 mm, grosor 10 mm; para la adaptación en bridas con diámetro Ø 70 mm

RFA-12

1544641



Adaptador de brida cuadrado en aluminio para codificador rotatorio de eje macizo con brida de sujeción; longitud del canto 70 mm; grosor 10 mm